

свойством самоуравновешенности. Итак, напряжения на границе слоя равны нулю, а решение соответствующей системы (интенсивности разрывов) отлично от нуля. Таким образом, система уравнений при переходе к бесконечной области стала неопределенной. В [1] фундаментальные решения были использованы для получения системы интегральных и алгебраических уравнений, описывающих напряженное состояние композита, имеющего разрывы волокон и расслоения связующего. При этом границы композита, перпендикулярные волокнам, рассматривались как разрывы волокон в объемлющем бесконечно большом образце. В связи с ухудшением обусловленности системы при росте числа уравнений в рассмотренном примере представляется целесообразным удовлетворять условия в напряжениях на внешних границах, перпендикулярных волокнам, с помощью фундаментального решения о сосредоточенной силе, а условия на внутренних разрывах — с помощью фундаментального решения (2.1), (2.2). Для иллюстрации сказанного снова рассмотрим задачу о равномерно нагруженном слое. Достаточно приложить к концам каждого волокна, выходящим на границы, сосредоточенные силы, обеспечивающие нужное напряжение, чтобы весь слой оказался уравновешенным. В этом случае бесконечная система распадается на отдельные одномерные уравнения и  $v$  оказывается равным 1. Во всех численных расчетах  $\beta = \sqrt{2/9}$ .

#### ЛИТЕРАТУРА

- Колпаков А. Г. Концентрация напряжений в конструкции из однона правленного композита // ПМТФ. — 1982. — № 2.
- Градштейн И. С., Рыжик И. М. Таблицы интегралов, сумм, рядов и производствений. — М.: Физматгиз, 1963.
- Hedgepath J. M., Van Dyke P. Locall stress concetration in imperfect filamentary composite materials // J. Composite Mater. — 1967. — V. 3, N 1.
- Ермак А. А., Михайлов А. М. Теоретическое определение разброса прочности стеклопластика // ПМТФ. — 1980. — № 6.

г. Новосибирск

Поступила 23/IV 1990 г.

УДК 539.3

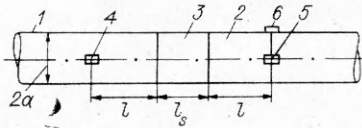
B. M. Корнеев

#### УТОЧНЕНИЕ ЗАВИСИМОСТЕЙ МЕТОДА СОСТАВНОГО СТЕРЖНЯ КОЛЬСКОГО — ГОПКИНСОНА

Представлены уточненные зависимости метода составного стержня, принимающие во внимание искажение импульса деформации за счет дисперсии. При построении уточненных соотношений используется уравнение Рэлея продольных колебаний стержня [1]. Кроме того, предлагаются измерять ускорение на поверхности мерного стержня в одном из сечений, что позволяет: 1) улучшить согласование параметрически заданной функции напряжение — деформация, 2) легко найти скорость деформирования образца, 3) подправить напряжения в образце с учетом инерционной составляющей.

Хорошо разработанный метод составных стержней Кольского — Гопкинсона [2—4] позволяет получать достаточно достоверные одномерные динамические диаграммы напряжение — деформация при значительных скоростях деформирования. Классические зависимости этого метода основываются на одномерной теории распространения упругих волн в стержнях и не учитывают дисперсию волн в реальных стержнях как в трехмерных объектах:

$$(i) \quad \varepsilon = \frac{\partial u}{\partial x} = -\frac{1}{c} \frac{\partial u}{\partial t}, \quad \sigma = E\varepsilon.$$



Здесь  $\varepsilon = \varepsilon(x, t)$  и  $\sigma = \sigma(x, t)$  — деформация и напряжение;  $u = u(x, t)$  — смещение вдоль оси стержня;  $x$  и  $t$  — продольная координата и время;  $c$  — скорость распространения одномерных упругих волн в стержне или «стержневая» скорость, которая в классической теории не зависит от длины волны:  $c^2 = E/\rho$  ( $E$  и  $\rho$  — модуль упругости и плотность материала мертвых стержней).

Предлагаемая схема метода измерений для стержня почти не отличается от классической и приведена на рисунке, где 1 — стержень-передатчик давления, 2 — стержень-наковальня, 3 — образец, 4 и 5 — тензодатчики, 6 — датчик ускорения, установленный на поверхности стержня-наковальни в сечении, совпадающем с сечением тензодатчика 5. Обозначим  $\varepsilon_i(t)$ ,  $\varepsilon_r(t)$  и  $\varepsilon_t(t)$  — деформации в падающей, отраженной и прошедшей волнах,  $l_s$  и  $l$  — длину образца материала и расстояние от торца стержней до тензодатчиков,  $a$  — радиус стержней и образца. После соответствующих преобразований [2] из соотношений (1) с учетом измерений  $\varepsilon_i$ ,  $\varepsilon_r$  и  $\varepsilon_t$  получаются зависимости, описывающие поведение образца материала:

$$(2) \quad \varepsilon_s = \varepsilon_s(t), \quad \sigma_s = \sigma_s(t)$$

( $t$  — параметр). Выражения (2) — параметрическое представление кривой  $\sigma_s - \varepsilon_s$ , причем она не отличается гладкостью из-за наличия дисперсии [3]. В [3] предложен частичный учет дисперсии в стержне при обработке измерений (см. соотношения (10) и (13) из [3], в которых  $c = \text{const}$ ); в [5] проведен учет дисперсии при обработке измерений, но только для слоя. Анализ продольных колебаний стержней [1, 6] и слоя [5, 7] позволяет представить процесс распространения импульса деформаций по стержню как по трехмерному телу в следующем виде: впереди перемещается со скоростью продольных волн предвестник, несущий малую долю энергии; далее в основном со «стержневой» скоростью распространяется основная гладкая часть импульса, она искажается за счет дисперсии; от основной части отстает возмущение, описывающее только сдвиговые деформации (скорость его — скорость волн искажения). С практической точки зрения главную информацию о происхождении импульса несет основная гладкая его часть. Если импульс имеет сильный разрыв (пусть таковы условия на торце), то происходит размытие фронта сильного разрыва [1, 6], перемещающегося со «стержневой» скоростью. Как показано в [6], распространение основной части импульса хорошо описывает уравнение Рэлея с точностью до коэффициента  $k$ . Полагая деформацию  $\varepsilon_x = \partial u / \partial x$  не зависящей от поперечных координат  $y$  и  $z$ , получим

$$(3) \quad v = -vy\partial u / \partial x, \quad w = -vz\partial u / \partial x, \quad u = u(x, t)$$

( $v$  и  $w$  — смещения в направлениях  $y$  и  $z$ ,  $v$  — коэффициент Пуассона). После соответствующих преобразований [1] окончательно имеем

$$(4) \quad c^2 \frac{\partial^2 u}{\partial x^2} - \frac{\partial^2 u}{\partial t^2} + v^2 k^2 \frac{\partial^4 u}{\partial x^2 \partial t^2} = 0.$$

Здесь  $k$  — полярный радиус инерции сечения, для круглого сечения  $k^2 = a^2/2$  ( $a$  — радиус стержня). Прямые  $ct \pm x$  не являются характеристиками уравнения (4).

Рассмотрим решения в виде проходящих волн

$$(5) \quad u_n = A_n \sin(q_n x \pm \omega_n t + \varphi_n) = A_n \sin q_n (x \pm \omega_n t + \varphi_n/q_n),$$

где  $A_n$  — амплитуда волны;  $q_n$  — волновое число ( $q_n > 0$ );  $\omega_n$  — частота;  $\varphi_n$  — фаза;  $c_n = \omega_n/q_n$  — скорость волны. В соотношении (5) ис-

пользованы две записи одного и того же решения, так как обе они будут применяться ниже. Волновое число  $q_n$  характеризует изменяемость решения вдоль стержня, волна перемещается со скоростью

$$(6) \quad c_n^2 = c^2 / (1 + v^2 k^2 q_n^2).$$

Очевидно, что  $c_n \rightarrow c$ , когда  $q_n \rightarrow 0$ . Принимая во внимание (5), (6), получим

$$(7) \quad \partial u / \partial x = \pm c_n^{-1} \partial u / \partial t,$$

причем  $c_n \neq c$  для  $q_n > 0$ . Равенство (7) учитывает дисперсию волн в отличие от классического соотношения (4).

Рассмотрим смещения торцов стержней  $u_1$  и  $u_2$ , примыкающих к образцу, причем индексы 1 и 2 соответствуют передатчику давления и наковальне, тогда  $\partial u_2 / \partial x = \varepsilon_t$ ,  $\partial u_1 / \partial x = \varepsilon_i + \varepsilon_r$ . Учитывая, что  $\varepsilon_i = -\varepsilon_r = \varepsilon_t$ , имеем

$$(8) \quad \partial(u_2 - u_1) / \partial x = -2\varepsilon_t.$$

Соотношения (8) и

$$(9) \quad \sigma_s = E\varepsilon_t$$

позволяют учесть дисперсию волн (см. (6)).

Полученные при измерениях функции  $\varepsilon_i(t)$ ,  $\varepsilon_r(t)$  и  $\varepsilon_t(t)$  доопределяем до нечетных периодических  $\varepsilon_i^*(t)$ ,  $\varepsilon_r^*(t)$  и  $\varepsilon_t^*(t)$ , раскладываем периодические функции  $\varepsilon_r^*(t)$  и  $\varepsilon_t^*(t)$  в ряды Фурье

$$(10) \quad \begin{aligned} \varepsilon_t^*(t) &= \frac{\partial u_t^*}{\partial x} \Big|_{x=0} = \sum_{n=1}^N A_{nt} \sin \omega_n t = - \sum_{n=1}^N A_{nt} \sin(-q_n c_n t), \\ \varepsilon_r^*(t) &= \frac{\partial u_r^*}{\partial x} \Big|_{x=0} = \sum_{n=1}^N A_{nr} \sin \omega_n t = \sum_{n=1}^N A_{nr} \sin q_n c_n t. \end{aligned}$$

Подсчет коэффициентов  $A_{nt}$  и  $A_{nr}$  в (10) проводится по стандартным формулам, когда используется первое представление рядов Фурье. Отметим, что начало отсчета  $x = 0$  для каждого измерения свое и совпадает с расположением тензодатчиков 5 и 4. Номер  $N$  выбирается из ограничения: длина волны для  $N$  должна быть не менее радиуса стержня, что соответствует применимости уравнения Рэлея (4) [1]. Переходим к проходящим волнам (см. (5) и второе представление ряда Фурье в (10)). Принимая во внимание, что прошедшая волна распространяется вправо, а отраженная — влево, получим

$$(11) \quad \begin{aligned} \frac{\partial u_t^*}{\partial x}(x, t) &= - \sum_{n=1}^N A_{nt} \sin q_n(x - c_n t), \\ u_r^*(x, t) &= \sum_{n=1}^N \frac{A_{nr}}{q_n} \cos q_n(x + c_n t) + \frac{A_{0r}}{2}, \quad \frac{A_{0r}}{2} = - \sum_{n=1}^N \frac{A_{nr}}{q_n}. \end{aligned}$$

При определении постоянной  $A_{0r}$  использовано условие, что до прихода импульса деформаций стержень находился в покое. Подчеркнем, что в представлениях (11) начала отсчета по координатам  $x$  разные, так как они совпадают с тензодатчиками 5 и 4. Рассмотрим учет дисперсии в соотношениях (8), (9) и (11). Для восстановления величин на торцах образца по замерам  $\varepsilon_i^*$ ,  $\partial u_t^* / \partial x$  и  $u_r^*$ , когда тензодатчики расположены на расстоянии  $l$  от торцов, введем преобразование координат

$$(12) \quad t = t_1 \pm l/c.$$

В (12) знак плюс выбирается, когда тензодатчик расположен до торца относительно распространения возмущения в падающей волне, минус — когда тензодатчик расположен за торцом относительно распространения

возмущения в отраженной и прошедшей волнах. После преобразований получаются следующие уточненные зависимости метода составных стержней Кольского — Гопкинсона:

$$(13) \quad \sigma_s = -E \sum_{n=1}^N A_{nt} \sin q_n \left[ -l \left( 1 - \frac{c_n}{c} \right) - c_n t_1 \right];$$

$$(14) \quad \varepsilon_s = \frac{2}{l_s} \left\{ \sum_{n=1}^N \frac{A_{nr}}{q_n} \cos q_n \left[ l \left( 1 - \frac{c_n}{c} \right) + c_n t_1 \right] + \frac{A_{0r}}{2} \right\}.$$

Фаза  $\pm l(1 - c_n/c)$  в соотношениях (13), (14) зависит от номера  $n$ , так как разные волны имеют разные скорости. Вообще говоря, величина  $(1 - c_n/c)$  малая, так как  $c \approx c_n$ , но фаза может быть и большой из-за длины  $l$ . Формулы (13), (14) для  $\sigma_s = \sigma_s(t_1)$  и  $\varepsilon_s = \varepsilon_s(t_1)$  учитывают дисперсию двояко:  $c_i \neq c_j$ , если  $i \neq j$ ; и фаза волны зависит от номера.

Для улучшения согласования параметрически заданной функции напряжение — деформация измерим ускорение поверхности мерного стержня в сечении, где расположена тензодатчик 5:

$$(15) \quad \frac{\partial^2 v}{\partial t^2} = -va \frac{\partial^3 u}{\partial x \partial t^2} = \psi(t).$$

Регистрация ускорений  $\psi(t)$  позволяет уточнить время вступления функции  $\sigma_s$ , причем в предлагаемом варианте измерение ускорений возможно при испытаниях и на сжатие, и на растяжение [2]. Очевидно, что скорость деформирования в этом случае подсчитывается непосредственно:

$$\dot{\varepsilon} = \frac{\partial}{\partial t} \frac{\partial u}{\partial x} = -\frac{1}{va} \int_0^t \psi(t) dt.$$

При высоких скоростях деформирования (порядка  $10^3 \div 10^4$  см/с) возникают инерционные силы, которые целесообразно учесть при определении реальной диаграммы  $\sigma_s - \varepsilon_s$  (см. (3.19), (3.20) и (3.23) из [2]). Пусть измерено ускорение на поверхности стержней  $\psi(t)$  (15), то определим эту функцию до нечетной периодической  $\psi^*(t)$ , получим ( $A_n$  — коэффициенты ряда Фурье)

$$\frac{\partial^3 u^*}{\partial x \partial t^2} \Big|_{x=0} = -\frac{\psi^*(t)}{va} = -\frac{1}{va} \sum_{n=1}^N A_n \sin \omega_n t = \frac{1}{va} \sum_{n=1}^N A_n \sin(-q_n c_n t),$$

откуда

$$\frac{\partial^2 u^*(x, t)}{\partial t^2} = \frac{1}{va} \left\{ \sum_{n=1}^N \frac{A_n}{q_n} \cos q_n (x - c_n t) + \frac{A_0}{2} \right\}, \quad \frac{A_0}{2} = -\sum_{n=1}^N \frac{A_n}{q_n},$$

так как волна движется вправо, а до прихода волны стержень находился в покое. Учтем дисперсию волн (12). Пусть геометрические размеры образца удовлетворяют соотношению  $l_s = \sqrt{3}va$ , тогда напряжения в образце подсчитываются по формуле [2]

$$(16) \quad \sigma_s = -E \sum_{n=1}^N A_{nt} \sin q_n \left[ -l \left( 1 - \frac{c_n}{c} \right) - c_n t_1 \right] + \rho_s \frac{l_s}{12} \frac{\partial^2 u^*(t_1)}{\partial t^2},$$

$$\frac{\partial^2 u^*(t_1)}{\partial t^2} = \frac{1}{va} \left\{ \sum_{n=1}^N \frac{A_n}{q_n} \cos q_n \left[ -l \left( 1 - \frac{c_n}{c} \right) - c_n t_1 \right] + \frac{A_0}{2} \right\}.$$

Таким образом, (14), (16) — окончательные уточненные зависимости метода составных стержней Кольского — Гопкинсона.

## ЛИТЕРАТУРА

1. Работнов Ю. Н. Механика деформируемого твердого тела.— М.: Наука, 1979.
2. Кокошвили С. М. Методы динамических испытаний жестких полимерных материалов.— Рига: Зиннатне, 1978.
3. Фоллэнсиби, Франц. Распространение волн в составном стержне Гопкинсона // Тр. Амер. о-ва инж.-мех. Теор. основы инж. расчетов.— 1983.— № 1.
4. Брагов А. М., Ломунов А. К. Особенности построения диаграмм деформирования методом Кольского // Прикл. проблемы прочности и пластичности: Всесоюз. межвуз. сб./Горьк. ун-т.— 1984.— Вып. 28.
5. Корней В. Распространение волн деформаций в слое с учетом поперечных движений // Динамика сплошной среды: Сб. науч. тр./АН СССР, Сиб. отд-ние, Ин-т гидродинамики.— 1987.— Вып. 82.
6. Кукуджанов В. Н. Асимптотические решения уточненных уравнений упругих и упругопластических волн в стержнях // Волны в неупругих средах.— Кишинев, 1970.
7. Слепян Л. И. Нестационарные упругие волны.— Л.: Судостроение, 1972.

г. Новосибирск

Поступила 5/III 1991 г.

УДК 539.3

*H. I. Остросаблин*

## ОБ УРАВНЕНИЯХ ЛИНЕЙНОЙ ТЕОРИИ УПРУГОСТИ

В работе введены собственные числа и векторы для матрицы коэффициентов в уравнениях движения в смещениях линейной теории упругости. Собственные числа и векторы найдены для матриц коэффициентов в случае материалов кристаллографических сингоний и представлены через независимые параметры, обеспечивающие положительную определенность удельной энергии деформации. Указаны материалы, для которых уравнения для каждого смещения становятся не зависимыми друг от друга. В зависимости от количества различных собственных чисел и их кратностей уравнения движения разбиваются на 32 класса.

Уравнения теории упругости в декартовых ортогональных координатах  $x_1, x_2, x_3$  имеют вид [1]

$$(1) \quad \left[ \frac{1}{2} (A_{iklj} + A_{ilkj}) \partial_{kl} - \rho \delta_{ij} \partial .. \right] u_j + F_i = 0,$$

где  $u_j$  — вектор смещения;  $F_i$  — вектор объемных сил;  $A_{iklj}$  — тензор модулей упругости;  $\rho$  — постоянная плотность материала;  $\delta_{ij}$  — символ Кронекера;  $\partial_k$  — дифференцирование по координате  $x_k$ ;  $\partial ..$  — дифференцирование по времени; повторяющиеся буквенные индексы означают суммирование от 1 до 3. Постоянные  $A_{iklj}$  обладают свойствами симметрии [1]:

$$(2) \quad A_{iklj} = A_{kilj} = A_{ljjk}.$$

Учитывая (2), получаем, что коэффициенты  $A_{ijkl}^* = A_{i(kl)j} = \frac{1}{2} (A_{iklj} + A_{ilkj})$ , входящие в (1), имеют такие же свойства симметрии, как и модули упругости:

$$(3) \quad A_{ijkl}^* = A_{jikl}^* = A_{klij}^*.$$

Аналогично собственным модулям упругости и состояниям [2—8] для тензора  $A_{iklj}$  можно ввести собственные числа и тензоры для коэффициентов (3):

$$(4) \quad \begin{aligned} A_{ijkl}^* &= f_{ijpq} \mu_{pqrs} f_{klrs} \quad ((pq) = (rs)), \\ f_{ijpq} f_{ijrs} &= \delta_{pqrs} = \frac{1}{2} (\delta_{pr} \delta_{qs} + \delta_{ps} \delta_{qr}). \end{aligned}$$

В двухиндексной матричной записи [6—8] формулы (4) представим так:

$$(5) \quad A_{ik}^* = f_{ip} \mu_{pr} f_{kr} \quad (p = r), \quad f_{ip} f_{ir} = \delta_{pr}.$$

Здесь суммирование по повторяющимся индексам от 1 до 6. Очевидно, что  $\mu_{11} = \mu_1$ ,  $\mu_{22} = \mu_2$ , ...,  $\mu_6$ ,  $f_{ip}$  — собственные числа и векторы симметрической матрицы  $A_{ik}^*$ .

9\*